論文 変動軸力を受けるコンクリート充填円形鋼管柱の静加力実験

福島 正樹*1·村山 双美*2·土井 希祐*3·尹 航*2

要旨: 地震時における中高層建物の下層階外柱を想定し、水平力に比例した軸力変動を受けるコンクリート充填円形鋼管柱の静加力実験を行った。本実験の結果、および角形鋼管柱試験体を用いた既報の実験結果に基づいて、変形性能およびエネルギー吸収性能に及ぼす断面形状、シアスパン比の影響について比較を行い、以下の知見を得た。円形断面柱の限界変形角は角形断面柱の場合と比較して非常に大きく、変動軸力下においても高い変形性能を有している。また、鋼管に局部座屈が発生した後、等価粘性減衰定数の増加率が低減しており、局部座屈発生時期の早遅が、大変形時のエネルギー吸収性能に影響を及ぼした。

キーワード: CFT 柱部材, 円形鋼管, 変動軸力, 変形性能, エネルギー吸収性能

1. はじめに

一般的に、コンクリート充填鋼管(以下, CFT と表記)構造等の鋼コンクリート合成構造建築 物は高層であり, 地震時において下層階の外柱 は大きな変動軸力を受ける。従って、変動軸力 の下で繰り返し水平力を受けるCFT柱部材の変 形性能とエネルギー吸収性能の評価法を確立す ることは,鋼コンクリート合成構造の合理的な 耐震設計を行う上で重要であると考えられる。 しかし、既往の実験研究の多くは一定軸力を受 ける場合のものであり、変動軸力を受ける場合 の研究は数少ない 1 。そこで本論文では、既報 2) に引き続き円形鋼管を用いたCFT柱試験体を製 作し、水平力に比例した軸力変動の下で正負交 番繰返し水平力を受ける場合の静加力実験を行 い,変形性能,およびエネルギー吸収性能に関 する基礎的なデータを取得するとともに、既報2) において報告した角形鋼管を用いたCFT柱試験 体の実験結果と比較することを目的とする。

2. 実験

2.1 試験体

試験体の柱部断面および外観を表-1 および

図-1 に、試験体柱部に使用した鋼管およびコンクリートの力学的特性を表-2 (a) \sim (b) に示す。なお、比較のため、既報 2) の角形鋼管を用いたCFT柱試験体の諸元も併せて示す。試験体柱部にはSTK 400 の円形鋼管 (\bigcirc -165.2 \times 5.0)を使用し、 $Fc=24N/mm^2$ の普通コンクリートを充填した。加力スタブには、SS400 の $BH-200\times300\times16\times16$ を用いた。また試験体製作にあたり、柱部分と加力スタブの接合部は柱通しとした。

2.2 載荷方法

図-2に載荷装置を示す。L形フレームを介して、980kN 圧縮油圧ジャッキ①により試験体柱部分に圧縮軸力を作用させた。また、294kN 圧縮引張油圧ジャッキ②により、試験体上部加力スタブを水平に保持するとともに、試験体柱部分に引張軸力を作用させた。さらに、490kN 圧縮引張油圧ジャッキ③により試験体に水平力を作用させた。

地震時に中高層建物下層階の外柱は、転倒モーメントによる水平力に比例した変動軸力を受ける。そこで本実験では、地震時の下層階外柱を想定し、試験体に式(1)に示す軸力比+0.5Ny~-0.38Nyの水平力に比例した軸力変動の下で、

^{*1} 新潟大学大学院自然科学研究科 (正会員)

^{*2} 新潟大学大学院自然科学研究科

^{*3} 新潟大学教授 工学部建設学科 工博 (正会員)

表-1 試験体柱部断面一覧

	CFT2	CFT3	CFT4	CFT5	
	150	150	165. 2	165. 2	
断面形状	150	150			
	□-150 × 150 × 4.5 (STKR400)	□-150 × 150 × 4.5 (STKR400)	O-165.2 × 5.0 (STK400)	O-165.2 × 5.0 (STK400)	
D(mm)	150.0	150.0	165.2	165.2	
t(mm)	4.5	4.5	5.0	5.0	
L(mm)	600.0	1200.0	600.0	1200.0	
A(mm ²)	22500.0	22500.0	21434.3	21434.3	
As(mm ²)	2619.0	2619.0	2516.4	2516.4	
D/t	33.3	33.3	33.0	33.0	
a/D	2.0	4.0	1.8	3.6	
As/A(%)	11.6	11.6	11.7	11.7	
丰一? 材料の力学的性性					

D:断面径または断面幅

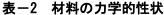
t:鋼管厚 L:材長=2a

(a:シアスパン)As:鋼材部断面積

A:断面積 D/t:幅厚比

a / D: シアスパン比 A s / A: 鋼材断面積比

732



(a) 鋼材

	$_{\rm s}\sigma_{\rm y}({\rm MPa})$	$_{\rm s}\sigma_{\rm t}$ (MPa)	$E_s(\times 10^5 MPa)$	
CFT2	367	443	2.05	
CFT3	307	443	2.00	
CFT4	365	462	2.27	
CFT5	300	402	2.21	

(b) コンクリート

	$_{\rm c}\sigma_{\rm B}({\rm MPa})$	$E_c(\times 10^4 MPa)$	材齢(日)	
No.9	23.0	2.17	44	
No.10	22.3	2.22	28	
No.11	26.1	2.15	57	
No.12	25.4	2.12	43	

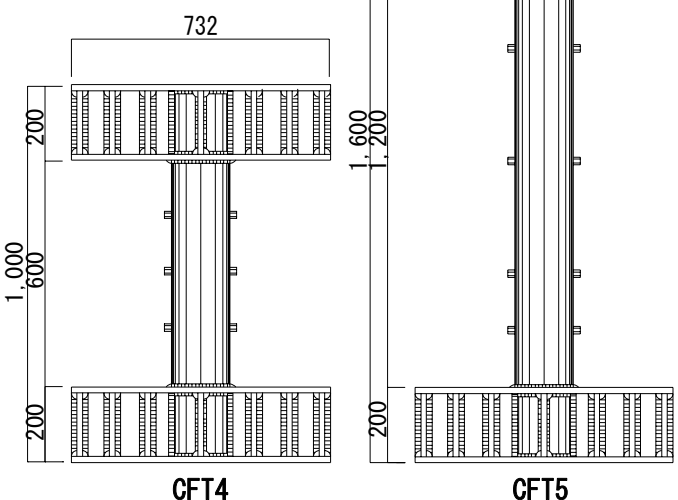


図-1 試験体柱外観図

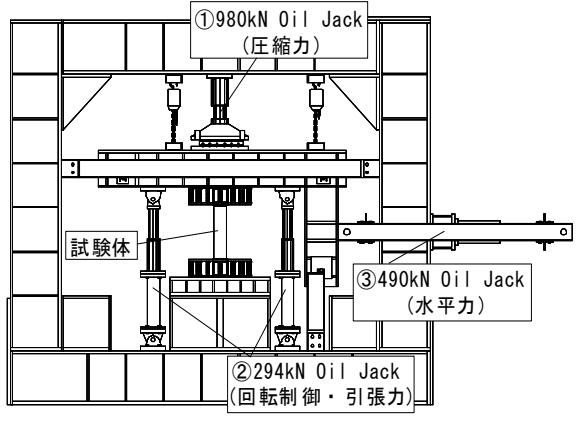
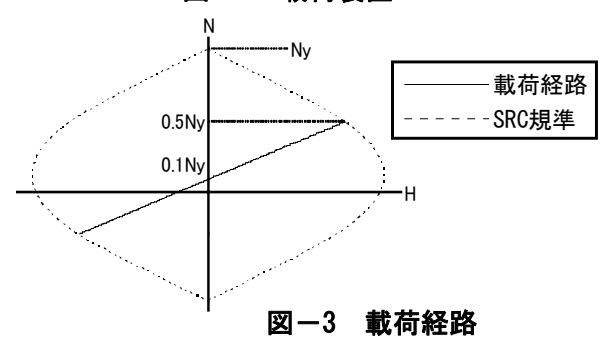


図-2 載荷装置



漸増振幅交番繰返し水平力を作用させるように 計画した(**図-3**参照)。

$$N = 0.1Ny + 0.4Ny \frac{H}{H_{0.5Ny}}$$
 (1)

ここに、N: 軸力、Ny: 累加圧縮耐力 $^{3)}$ 、H: 水平力、 $H_{0.5Ny}:$ N=0.5Nyの時の断面耐力から決まる水平力である。

載荷履歴は、部材角R=5,10,15,20,および40×10⁻³radの各変位振幅において正負2回ずつ交番繰返し載荷を行った後、正方向へ加力装置の限界まで載荷した。なお本論文においては、軸力変動に伴い、柱軸力が圧縮となるときの水平力載荷方向を正加力側、柱軸力が引張となるときの水平力載荷方向を負加力側と表記する。

3. 実験結果

3.1 破壊性状

実験によって得られた各試験体の最大耐力, 初期降伏発生荷重, 局部座屈発生荷重, 鋼管亀 裂発生荷重, 限界変形角を終局耐力計算値とと もに表-3に示す。なお、本論文においては、荷 重に $P-\Delta$ 効果を考慮していない。また、限界変 形角はCFT構造で一般的に用いられる最大強度 の 95%における部材角 $R_{0.95}$ とした。正加力側に おいて、各試験体とも局部座屈発生後に最大耐 力に達しているが, 何れも終局耐力計算値を下 回っている。一方, 負加力側においては, 全て の試験体が終局耐力計算値を上回っている。こ れは歪硬化により鋼材の強度が上昇したためで あると考えられる。また、負加力側においてCFT2、 CFT3 は鋼管端部の引張側コーナー部に、CFT4 は鋼管端部引張側に亀裂が生じたが、亀裂の進 展には至らなかった。CFT5 は局部座屈のみで亀 裂は生じなかった。

3.2 荷重一変形関係

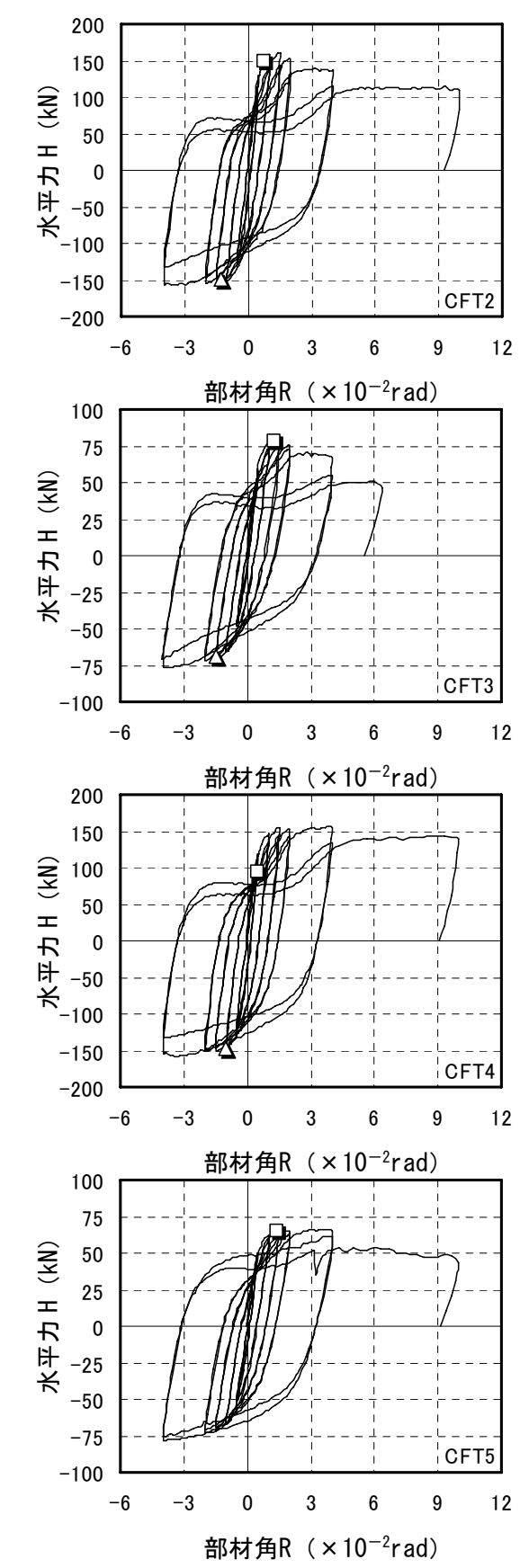
本論文と既報²⁾ における試験体 4 体の水平力 一部材角関係を**図ー4**に示す。径厚比、幅厚比が ほぼ同程度でシアスパン比が異なる場合、シア スパン比の小さなCFT2、CFT4 に比ベシアスパ ン比の大きなCFT3、CFT5 の方が若干早期に局 部座屈が発生した。また、シアスパン比がほぼ 同程度で、断面形状が異なる場合、角形鋼管を 使用した CFT2、CFT3 は、円形鋼管を使用した CFT4, CFT5 より早期に最大耐力に達している。 CFT2, CFT3, および CFT4 は, ±7 サイクル (変位振幅 R=±0.015rad) まで紡錘形に近い履歴ループを示すが、それ以降、特に正加力側においてスリップ形の履歴ループへと変化している。これは、正加力時における鋼管の局部座屈、および負加力時における鋼管端部の亀裂の影響であると考えられる。 CFT5 は、±9 サイクル (変位振幅 R=±0.040rad) まで紡錘形の履歴ループを示し、±10 サイクル (変位振幅 R=±0.040rad) からスリップ形に移行していく傾向が見られる。これは負加力時、亀裂が生じなかったためであると考えられる。圧縮~引張の変動軸力下では、負加力時の亀裂発生の有無が正加力時の履歴ループの形状に影響を与えているといえる。

4. 変形性能

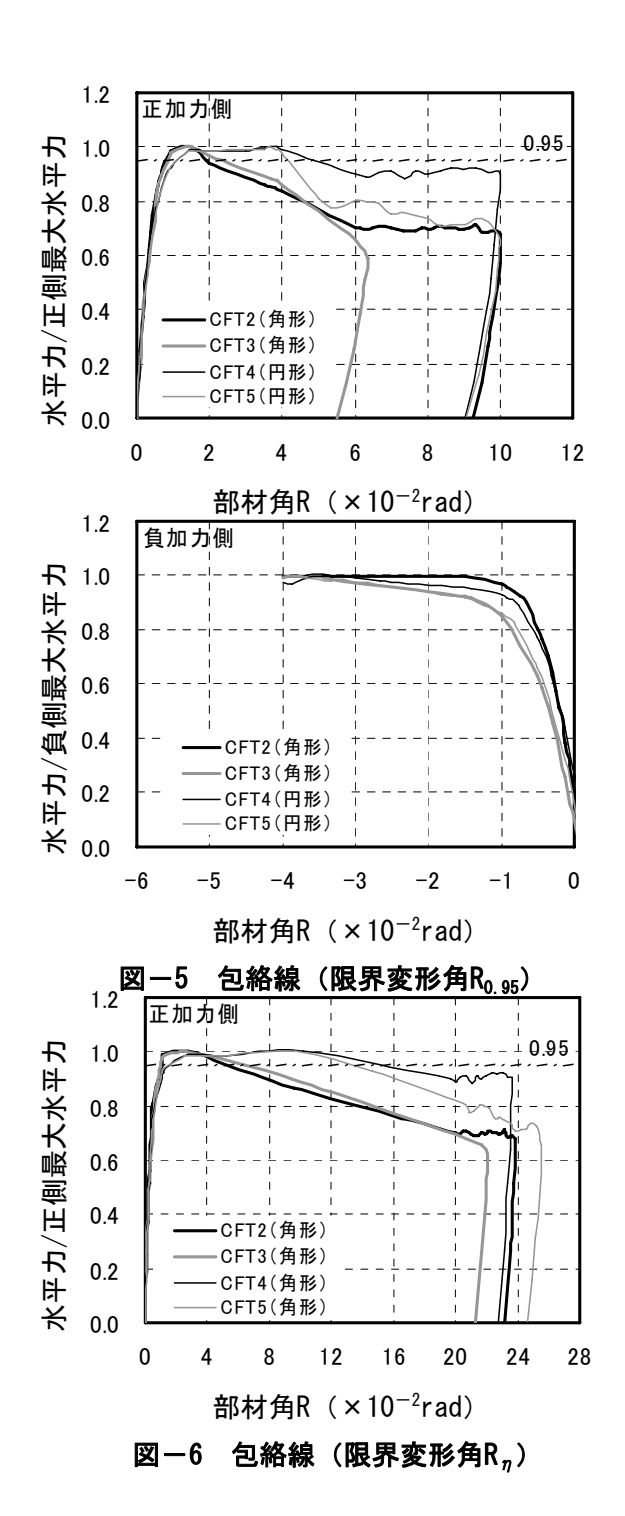
図-5に各試験体の正加力側, 負加力側における水平力一部材角関係の包絡線(奇数サイクルの履歴ループを包絡したもの)を示す。なお、比較のため、荷重は試験体毎に水平力を最大耐力で除して基準化している。正加力側において円形鋼管柱試験体は、+0.015rad 程度で最大耐力付近まで耐力が上昇すると、その耐力を維持したまま変形が進み+0.040rad 程度で最大耐力に到達し、その後耐力の低下が始まるのに対し角形鋼管柱試験体は、+0.015rad 程度で最大耐力に到達し、その直後から耐力が低下している。そ

· · · · · · · · · · · · · · · · · · ·									
		水平力(kN)			変形(×10 ⁻² rad)[サイクル]				
試験体ナンバー		CFT2	CFT3	CFT4	CFT5	CFT2	CFT3	CFT4	CFT5
終局耐力計算値	正	162.2	80.7	165.5	82.9	_	1	_	_
	負	-143.0	-71.7	-139.9	-70.1	_	I	-	_
最大耐力	正	160.7	77.9	156.1	66.4	1.50[+5]	1.25[+5]	3.84[+9]	3.67[+9]
女父ノへ同うノン	負	-156.6	-76.7	-158.0	-78.4	-3.02[-9]	-3.84[-9]	-3.34[-8]	-4.00[-9]
初期降伏発生荷重	正	124.5	69.8	85.5	39.2	0.46[+1]	0.67[+3]	0.27[+1]	0.33[+1]
初刻件以先工同主	負	-103.3	-41.3	-111.1	-48.5	-0.32[-1]	-0.38[-1]	-0.39[-1]	-0.44[-1]
局部座屈発生荷重		149.5	77.9	93.8	65.4	0.73[+3]	1.25[+5]	0.51[+4]	1.42[+5]
鋼管亀裂発生荷重		-149.9	-69.1	-146.5	_	-1.26[-5]	-1.50[-6]	-1.00[-3]	_
限界変形角R _{0.95}	正	152.7	74.0	148.3	63.1	1.90	2.36	4.87	4.18
	負	_	_	-	-	_	_	_	_
累積塑性変形 R_η ※	正	152.7	74.0	148.3	63.1	5.12	6.37	14.9	13.24

表-3 実験結果



□:局部座屈発生 △:亀裂発生図ー4 水平力Hー部材角R関係



のため、限界変形角R_{0.95}で比較すると、円形鋼管柱試験体は角形鋼管柱試験体より正加力側において、変形性能に優れているといえる。累積塑性変形能力R_n(累積塑性変形⁴⁾(付録参照)を考慮した包絡線上で、耐力が最大耐力の 95%に低下した時点の変形角)で比較した場合も同様に円形鋼管柱試験体は高い変形能力を示している(図ー6 参照)。これは、円形鋼管は角形鋼管よりコンクリートの拘束効果が大きく、圧縮力

によるコンクリートの損傷が少ないため、大変 形時においても耐力を維持することができたこ とによると考えられる。負加力側においては、 シアスパン比の小さい試験体が早期に耐力が上 昇する傾向にあるが、包絡線の形状に大きな差 異はない。また、本実験で設定した載荷履歴の 範囲では、負加力側において耐力低下はみられ なかった。

5. エネルギー吸収性能

エネルギー吸収性能の指標として, CFT4, CFT5 について, 繰返し載荷の各変位振幅における 2 回目の繰返しループに対する等価粘性減衰定数 heq を取り, 部材角 R との関係を**図-7** に示す。等価粘性減衰定数の定義式として(2) 式を用いた。

$$heq = \frac{\triangle w}{2\pi \cdot w} \tag{2}$$

ここに、 ΔW : 半サイクルで吸収するエネルギー、W: 等価弾性剛性に置き換えた弾性エネルギー(各変位振幅の最大変形点から計算する。)また、曲げ破壊する充腹形SRC部材のheqの推定式 5) において、 $R_{0.80}$ を $R_{0.95}$ とした式(3)を併せて示す。

$$heq = 1.5(1 - \frac{q}{\sqrt{R}}) / \pi$$

$$q = 1 - 0.2(R - 1) / (R_{0.95} - 1)$$
(3)

ここに, R:部材角, R_{0.95}:限界変形角

なおheqは、定常1サイクルに対して定義されるものであるが、変動軸力の場合、正加力側と負加力側における性状に大きな差異が見られるために、正加力側と負加力側に分けてheqを求めた。式(3)はR_{0.95}の大きい円形断面CFT部材のheq下限値を推定できているが、その評価はかなり安全側である。図-8に本論文と既報²⁾における試験体4体の等価粘性減衰定数一部材角関係を正加力側、負加力側に分けて示す。正加力側のheqを断面形状の違いについて比較すると、シアスパン比の大小に関係なく角形断面のheqには大きな差異は見られない。シアスパ

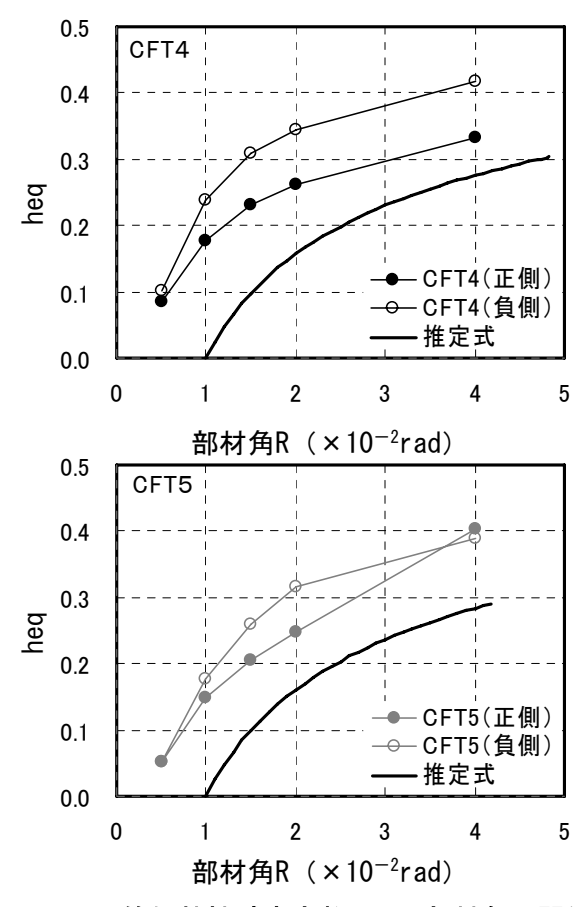


図-7 等価粘性減衰定数 heq-部材角 R 関係

0.5

正加力側

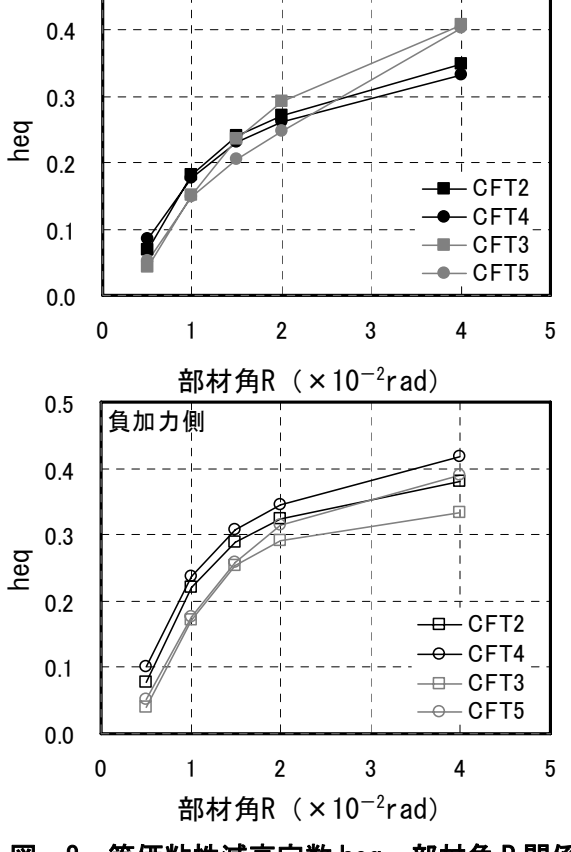


図-8 等価粘性減衰定数 heq-部材角 R 関係

ン比の違いについて比較すると,変位振幅が 0.020rad 程度から CFT3, CFT5 の heq が CFT2, CFT4の heq より卓越している。これはシアスパ ン比の大きな CFT3, CFT5 が局部座屈発生サイ クルの部材角 0.015rad から heq の増加率が減少 したのに対し、局部座屈発生が早かったシアス パン比の小さな CFT2, CFT4 が部材角 0.010rad から heq の増加率が減少していることと対応し ている。負加力側の heq を断面形状の違いにつ いて比較すると, 部材角が 0.015rad まで差はな いが, 部材角が 0.020rad 以降は, 円形鋼管柱試 験体の場合の heq が角形鋼管柱試験体の場合の heq を上回る傾向がある。また、シアスパン比の 小さい方が heg は大きくなる傾向がある。正加 力側と負加力側の heq とシアスパン比について 比較すると,シアスパン比が小さい場合は正加 力側の heq と負加力側の heq の差異が明確で,部 材角 0.020rad まで正負の差が広がっている。シ アスパン比が大きい場合は正加力側の heq と負 加力側のheqがほぼ同程度であり部材角0.020rad 以降は正加力側の heq が卓越している。

6. 結論

地震時の中高層建物の下層階外柱を想定した, 圧縮~引張の変動軸力下で繰返し水平力を受け る円形鋼管を用いたCFT柱の正加力実験を行っ た。次いで, 既報²⁾ における角形鋼管を用いた CFT柱の実験結果を含めて,変形性能とエネルギ 一吸収性能の比較を行った。

本論文の範囲内で、変形性能の指標である限界変形角R_{0.95}について比較すると、正加力側で角形断面試験体は、0.020rad前後であるのに対し、円形断面試験体は 0.040radを越えていた。円形断面CFT柱は角形断面CFT柱に比べ、変動軸力下においても高い変形性能を有している。

エネルギー吸収性能の指標である等価粘性減衰定数 heq については、SRC 部材の場合の推定式によると、変動軸力下の円形断面 CFT 部材のheq を大変形時に至るまで推定することができたがその評価はかなり安全側である。また鋼管

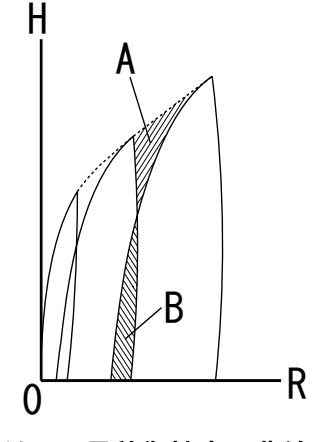
の局部座屈が発生すると,等価粘性減衰定数の 増加率が低減し,局部座屈発生時期の早遅が大 変形時のエネルギー吸収性能に影響を及ぼすと いえる。

謝辞

本研究の一部は、平成 17 年度文部科学省科学研究費補助金基盤研究 (B) (2) (代表者:加藤大介新潟大学教授) により行った。

付録. 累積塑性変形評価法4)

バウシンガー効果を含めた除荷域での変形軟化現象を考慮するために、付図のAとBの面積が相殺されるように履歴曲線角ループの半サイクル曲線を順次つなぐ方法。



付図 累積塑性変形曲線

参考文献

- 1) 土井希祐,加藤大介:鋼コンクリート合成構造部材の変形性能とエネルギー吸収性能の評価法,コンクリート工学年次論文集,Vol.26,No.2,pp.1405-1410,2004.7
- 2) 土井希祐ほか:変動軸力を受けるコンクリート充填鋼管柱の静加療実験, コンクリート工学年次論文集, Vol.27, No.2, pp.1405-1410, 2005 7
- 3) 日本建築学会: 鉄骨鉄筋コンクリート構造計 算規準・同解説, 2001.1
- 4) 日本建築学会: コンクリート充填鋼管構造設 計施工指針, pp.170-176, 1997.10
- 5) 称原良一, 土井希祐: SRC 造建物の変形性能 と Ds 値, 日本建築学会構造系論文集, No.540, pp.149-154, 2001.2